

УДК 539.219.3

**ФАЗЫ  $\alpha$  И  $\beta$  СИСТЕМЫ Al–Mn–Si****Н.В. Казеннов, К.Б. Калмыков, С.Ф. Дунаев, Н.Л. Зверева,  
Н.Е. Дмитриева***(кафедра общей химии; e-mail: kbkalmykov@mail.ru)*

Методами сканирующей электронной микроскопии, рентгенофазового и электронно-зондового микроанализа исследованы области гомогенности и кристаллические структуры тройных фаз  $\alpha$  и  $\beta$  на основе соединений  $Al_9Mn_2Si$  и  $Al_9Mn_3Si$  при температуре 823 К. Установлено, что фаза  $\alpha$  образуется в области составов 7,4–15,9 ат.% Si при изоконцентрате марганца ~18 ат.%. Фаза  $\beta$  имеет область гомогенности от 3,7 до 18,5 ат.% Si и располагается параллельно стороне Al–Si при концентрации марганца 24–26 ат.%. Построен фрагмент изотермического сечения системы Al–Mn–Si в области сплавов, богатых алюминием.

**Ключевые слова:** фазовые равновесия, сканирующая электронная микроскопия, рентгенофазовый анализ, алюминиевые сплавы, диффузия, квазикристаллы.

Интерес к изучению тройной диаграммы состояния Al–Mn–Si обусловлен существованием довольно большого количества квазикристаллических соединений в сплавах на основе данной системы. В большинстве случаев квазикристаллические соединения системы Al–Mn–Si получают методом сверхбыстрой закалки, однако в литературе присутствует информация о том, что при определенных составах в системе Al–Mn–Si образуются квазикристаллические фазы и при обычных скоростях охлаждения [1].

Исследованию диаграммы состояния Al–Mn–Si в области, богатой алюминием, посвящено большое количество работ [2–11], однако данные о характере фазовых равновесий и областей гомогенности фаз в тройной системе в ряде работ противоречат друг другу.

Первые два тройных соединения (фазы  $\alpha$  и  $\beta$ ) в системе Al–Mn–Si были обнаружены авторами [2] в 1938 г. Фаза  $\alpha$  легко образуется при кристаллизации расплавов алюминия, содержащих более 2% кремния и марганца. Позднее было найдено [3], что фаза  $\alpha$  соответствует формуле  $Al_9Mn_2Si$  и имеет кубическую решетку (Pm3) с параметром  $a = 12,625 \text{ \AA}$ . По данным [4, 5] область гомогенности  $\alpha$ -фазы располагается в интервале концентраций от 10 до 13 ат.% Si и ~18 ат.% Mn, что не согласуется с результатами работ [6, 7].

Особый интерес вызывают результаты работы [1], в которой исследовалась кристаллическая решетка  $\alpha$ -фазы на основе тройного соединения  $Al_9Mn_2Si$ .

Авторы утверждают, что кристаллическая структура  $\alpha$ -фазы может быть представлена как укладка 54-атомных икосаэдральных скоплений.

Фаза  $\beta$  на основе соединения  $Al_9Mn_3Si$  обладает гексагональной структурой (P6<sub>3</sub>/mmc) с параметрами решетки  $a = 7,513 \text{ \AA}$  и  $c = 7,745 \text{ \AA}$  [8]. Авторы [9] рассматривают фазу  $\beta$  как продолжение области гомогенности двойного соединения  $Mn_3Al_{10}$ , обнаруженного в работе [10]. Однако в более поздних исследованиях [11] сведения о существовании этой фазы в двойной системе Al–Mn не подтвердились. Данные об области гомогенности  $\beta$ -фазы довольно противоречивы, это соединение было обнаружено различными авторами в интервале концентраций от 0 до 20 ат.% Si и от 23 до 29 ат.% Mn.

Таким образом, структура уже давно известных тройных соединений системы Al–Mn–Si до настоящего времени однозначно не установлена. И данные об областях гомогенности фаз  $\alpha$  и  $\beta$ , полученные различными авторами, не согласуются друг с другом. Цель настоящей работы – определение области гомогенности тройных  $\alpha$ - и  $\beta$ -фаз на основе соединений  $Al_9Mn_2Si$  и  $Al_9Mn_3Si$  соответственно, установление характера фазовых равновесий с участием данных фаз, а также определение зависимости параметров кристаллической решетки от состава.

**Методика эксперимента**

Строение диаграммы состояния тройной системы Al–Mn–Si исследовали методом равновесных сплавов.

В качестве исходных материалов использовали Al чистотой 99,99%, Si монокристаллический и Mn (“Riedel-de-Haon”) чистотой 99,98%. Сплавы выплавляли в дуговой печи с нерасходуемым вольфрамовым электродом в атмосфере очищенного аргона с пятикратным переплавом. Полученные слитки заворачивали в ниобиевую фольгу толщиной 100 мкм и отжигали в вакуумированных кварцевых ампулах в печах электросопротивления с последующей закалкой в воде. Продолжительность гомогенизирующего отжига составляла 300, 600 и 1000 ч при температуре 823 К.

Образцы исследовали методами сканирующей электронной микроскопии (СЭМ) на приборе “LEO EVO-50 XVP” (“Karl Zeiss”) при ускоряющем напряжении 15 кВ (QBSD-детектор) энергодисперсионного микроанализа (ЭДМА) с использованием детектора “INCA energy 450” (“Oxford Instruments”) и рентгенофазового анализа (“STOE STADI P”, Cu-K<sub>α1</sub> Ge (111) – монохроматор). Образцы для СЭМ и ЭДМА заливали в электропроводящую пластмассу и шлифовали на абразивах различной зернистости.

С целью повышения точности определения состава фаз методом энергодисперсионного микроанализа стандартизацию проводили с использованием специально приготовленного эталона на основе соединения Al<sub>9</sub>Mn<sub>3</sub>Si. Состав соединения подтверждали методом рентгеноструктурного анализа на извлеченных из образца монокристаллах, которые в дальнейшем использовали для калибровки приборов. Параметры съемки и рентгеноструктурного анализа приведены в табл. 1.

**Экспериментальные данные и обсуждение результатов**

**Фаза α на основе соединения Al<sub>9</sub>Mn<sub>2</sub>Si**

Энергодисперсионный анализ состава фаз в образцах, содержащих до 20 ат.% Mn и до 20 ат.% Si, по-

Таблица 1

Параметры съемки и рентгеноструктурного анализа

Пространственная группа	P6 <sub>3</sub> /mmc
a (Å)	7,503(2)
c (Å)	7,745(2)
Объем ячейки (Å <sup>3</sup> )	377,6
Z	2
Излучение	Mo K <sub>α</sub>
Дифрактометр	CAD4
Метод сканирования	ω
Максимальный 2θ (град)	60
Показатели h, k, l	0 ≤ h, k, l ≤ 13
Полное число рефлексов	459
Количество рефлексов в уточнении	368
Фактор недоверности R <sub>1</sub> <sup>*</sup>	2,7%

$$* R_1 = \frac{\sum ||F_0| - |F_c||}{\sum |F_0|}$$

зволил определить границы области гомогенности α-фазы (табл. 2), при этом проводили не менее 5 измерений для каждой фазовой области и обрабатывали их методами математической статистики. Ошибка измерений составляла не более 0,5 ат.%. Результаты локального анализа фазовых областей приведены в табл. 2. Обозначения фаз τ<sub>1</sub>–τ<sub>6</sub> соответствуют принятым в работе [4]. Данная фаза имеет узкую область гомогенности по марганцу и располагается при ~18 ат.% Mn и от 7,4 до 15,9 ат.% Si. Микроструктуры некоторых образцов после отжига в течение 1000 ч при 823 К представлены на рис. 1.

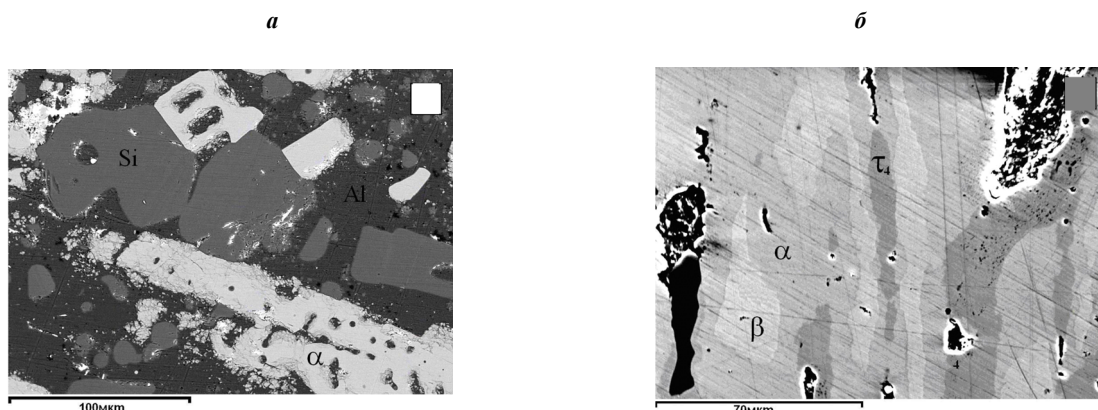
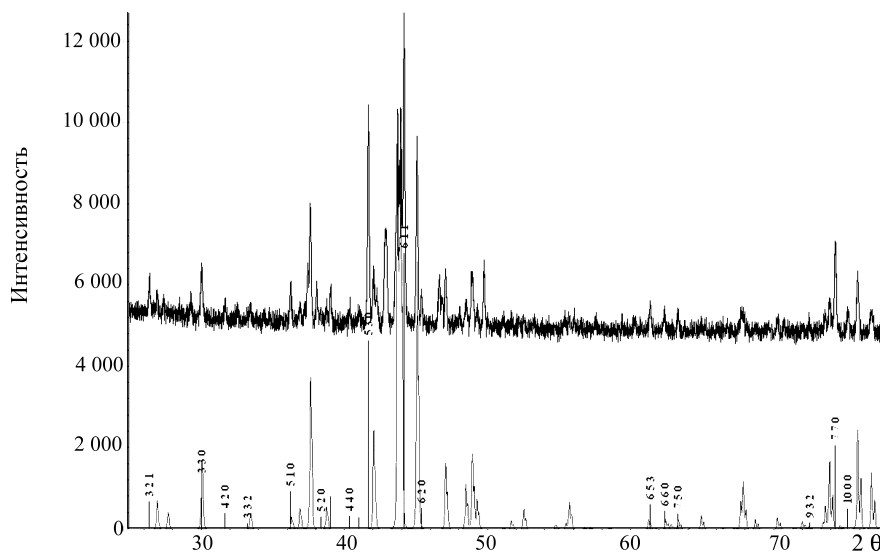


Рис. 1. Микроструктуры образцов системы Al–Mn–Si из трехфазных областей Al+Si+α (a) и α + β + τ<sub>4</sub> (б)

Таблица 2

Границы области гомогенности  $\alpha$ -фазы при 823 К

Номер сплава	Фазовая область	Состав $\alpha$ -фазы, ат.%		
		Al	Si	Mn
1	$\alpha + \text{MnAl}_6$	75,0	7,4	17,6
2	$\alpha + \text{Al} + \text{MnAl}_6$	74,3	7,9	17,8
3	$\alpha + \text{Al}$	71,9	9,9	18,2
4	$\alpha + \text{Al} + \text{Si}$	68,5	13,5	18,0
5	$\alpha + \beta + \tau_4$	66,7	15,9	17,4
6	$\alpha + \beta$	66,3	15,5	18,2
7	$\alpha + \beta$	66,5	15,1	18,4
8	$\alpha + \beta$	67,2	14,8	18,0
9	$\alpha + \beta$	68,5	13,2	18,3
10	$\alpha + \beta$	70,1	11,3	18,6
11	$\alpha + \beta$	71,5	10,1	18,4
12	$\alpha + \beta$	72,4	9,1	18,5
13	$\alpha + \beta + \text{MnAl}_6$	74,6	7,3	18,1
14	$\alpha$	69,4	12,0	18,6

Рис. 2. Дифрактограмма образца № 6 из двухфазной области  $\alpha + \beta$ 

Параметры кристаллической решетки  $\alpha$ -фазы определяли рентгенофазовым анализом методом порошка. На рис. 2 показана дифрактограмма образца

№ 6 (табл. 2) из двухфазной области  $\alpha + \beta$  и рассчитанная теоретическая дифрактограмма соединения  $\beta\text{-Al}_9\text{Mn}_3\text{Si}$ , а также положение пиков фазы

Т а б л и ц а 3

## Индексирование рентгенограммы образца № 6

$D$	$I(\text{rel})$	$h$	$k$	$l$	Фаза	$D$	$I(\text{rel})$	$h$	$k$	$l$	Фаза
4,4676	8,50	2	2	0	$\alpha$	2,0487	100,00	6	1	1	$\alpha$
3,9952	27,97	3	1	0	$\alpha$	2,0097	61,60	2	0	3	$\beta$
3,8579	23,33	0	0	2	$\beta$	1,9961	7,66	6	2	0	$\alpha$
3,7199	4,22	1	1	0	$\beta$	1,9286	17,42	0	0	4	$\beta$
3,6468	5,82	2	2	2	$\alpha$	1,8757	8,20	3	0	2	$\beta$
3,3759	10,08	3	2	1	$\alpha$	1,8601	20,91	2	2	0	$\beta$
3,3105	6,47	1	0	2	$\beta$	1,8478	5,47	1	0	4	$\beta$
2,9735	18,42	3	3	0	$\alpha$	1,5094	9,01	6	5	3	$\alpha$
2,9735	18,42	2	0	1	$\beta$	1,4878	6,59	6	6	0	$\alpha$
2,8234	5,78	4	2	0	$\alpha$	1,4678	5,56	7	5	0	$\alpha$
2,6936	2,02	3	3	2	$\alpha$	1,4678	5,56	3	1	3	$\beta$
2,6778	5,21	1	1	2	$\beta$	1,3826	5,77	4	1	1	$\beta$
2,4763	13,81	5	1	0	$\alpha$	1,3797	5,72	3	2	2	$\beta$
2,4340	5,89	2	1	0	$\beta$	1,3028	2,41	9	3	2	$\alpha$
2,3887	39,06	1	0	3	$\beta$	1,3028	2,41	2	1	5	$\beta$
2,3447	4,51	5	2	0	$\alpha$	1,2859	6,04	0	0	6	$\beta$
2,3216	4,75	2	1	1	$\beta$	1,2812	10,93	3	2	3	$\beta$
2,3055	11,86	5	2	1	$\alpha$	1,2755	30,42	7	7	0	$\alpha$
2,2323	4,63	4	4	0	$\alpha$	1,2627	7,44	10	0	0	$\alpha$
2,1987	4,25	4	4	1	$\alpha$	1,2530	20,84	3	0	5	$\beta$
2,1656	68,48	5	3	0	$\alpha$	1,2394	8,90	3	3	0	$\beta$
2,1470	18,07	3	0	0	$\beta$	1,2263	4,70	9	5	0	$\alpha$
2,0692	77,97	3	0	1	$\beta$	1,2219	8,11	5	0	2	$\beta$
2,0593	76,15	2	1	2	$\beta$	1,2041	3,49	10	3	1	$\alpha$

$\alpha$ - $\text{Al}_9\text{Mn}_2\text{Si}$ . В табл. 3 представлены значения индексов плоскостей фаз  $\alpha$  и  $\beta$ .

Кристаллическая решетка данной фазы имеет кубическую структуру с параметром  $a = 12,6275(6) \text{ \AA}$ , причем параметр решетки практически не изменяется в зависимости от концентрации Si. Фаза  $\alpha$  находится в равновесии с Al, Si, фазой  $\text{MnAl}_6$ , а также тройными соединениями  $\tau_4$  [4] и  $\beta$ .

#### Фаза $\beta$ на основе $\text{Al}_9\text{Mn}_3\text{Si}$

Для определения границы области гомогенности  $\beta$ -фазы был приготовлен ряд образцов. Фазовый и элементный состав полученных сплавов был исследован методами сканирующей электронной микроскопии, энергодисперсионного микроанализа и рент-

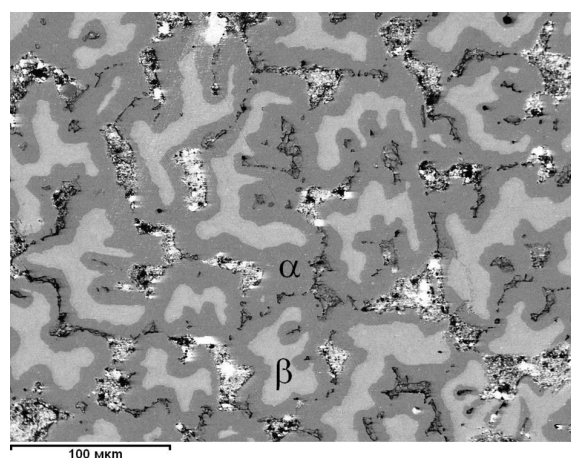


Рис. 3. Микроструктура двухфазного образца из области  $\alpha + \beta$

генофазового анализа. В табл. 4 представлены результаты энергодисперсионного микроанализа образцов. Исходя из анализа состава трехфазных образцов, в первом приближении удалось установить границу области гомогенности соединения  $Al_9Mn_3Si$ . Фаза  $\beta$  лежит в интервале концентраций кремния от 3,7 до 18,5 ат. %.

Для уточнения границ области гомогенности были приготовлены и исследованы образцы из двухфазных областей  $\alpha + \beta$ ,  $\beta + \tau_6$ ,  $\beta + \tau_2$ . Исследование этих образцов с помощью сканирующей электронной микроскопии и энергодисперсионного микроанализа позволило точно установить область гомогенности соединения  $Al_9Mn_3Si$  относительно концентрации марганца. Фаза  $\beta$  лежит в довольно узком интервале концентраций от 24 до 26 ат. % Mn. Область гомогенности соединения  $\beta-Al_9Mn_3Si$  расположена параллельно стороне Al-Si. Это обусловлено тем, что в кристаллической решетке  $\beta$ -фазы атомы кремния в основном замещают атомы алюминия, а не атомы марганца. Микроструктура образца № 9 из двухфазной области

после отжига в течение 1000 ч при 823 К представлена на рис. 3.

При определении границы области гомогенности  $\beta$ -фазы со стороны тройных соединений  $\tau_2$ ,  $\tau_6$  и двойного соединения  $Mn_{11}Al_{15}$  было установлено, что вследствие низкой диффузионной подвижности элементов полную гомогенизацию сплавов осуществить практически невозможно, поскольку для этого требуются отжики длительностью в десятки тысяч часов. Однако на границах фаз в сплаве равновесная концентрация элементов достигается довольно быстро, уже после 600 ч отжига, и не меняется при дальнейшей термообработке. На рис. 4 (а, б) приведены микроструктура образца № 18 (табл. 4) и качественное распределение элементов по линии, проходящей через фазовую границу  $\tau_2/\beta$ . На границе между фазами  $\tau_2$  и  $\beta$  образовалась темная полоса без четкой фазовой границы. Это указывает на то, что концентрация Al на границе фаз выше, чем в центре зерен. Таким образом, можно утверждать, что даже после 1000 ч отжига образец полностью в равновесие не пришел.

Таблица 4

Границы области гомогенности  $\beta$ -фазы при 823 К

Номер сплава	Фазовая область	Состав $\beta$ -фазы, ат. %		
		Al	Si	Mn
5	$\alpha+\beta+\tau_4$	59,3	15,7	25,0
6	$\alpha+\beta$	56,7	16,8	26,5
7	$\alpha+\beta$	60,1	15,3	24,6
8	$\alpha+\beta$	61,7	14,2	24,1
9	$\alpha+\beta$	64,8	10,6	24,6
10	$\alpha+\beta$	64,0	9,3	26,7
11	$\alpha+\beta$	66,4	8,6	25,0
12	$\alpha+\beta$	67,4	8,0	24,6
13	$\alpha+\beta+MnAl_6$	69,1	6,6	24,3
15	$\beta+Mn_4Al_{11}+Mn_{11}Al_{15}$	70,8	3,7	25,5
16	$\beta+Mn_{11}Al_{15}$	65,3	8,0	26,7
17	$\beta+\tau_6$	64,0	9,3	26,7
18	$\beta+\tau_6$	64,6	9,4	26,0
19	$\beta+\tau_2$	59,1	15,9	25,0
20	$\beta+\tau_1+\tau_2$	57,8	18,3	23,9
21	$\beta+\tau_1+\tau_4$	57,8	18,5	23,7

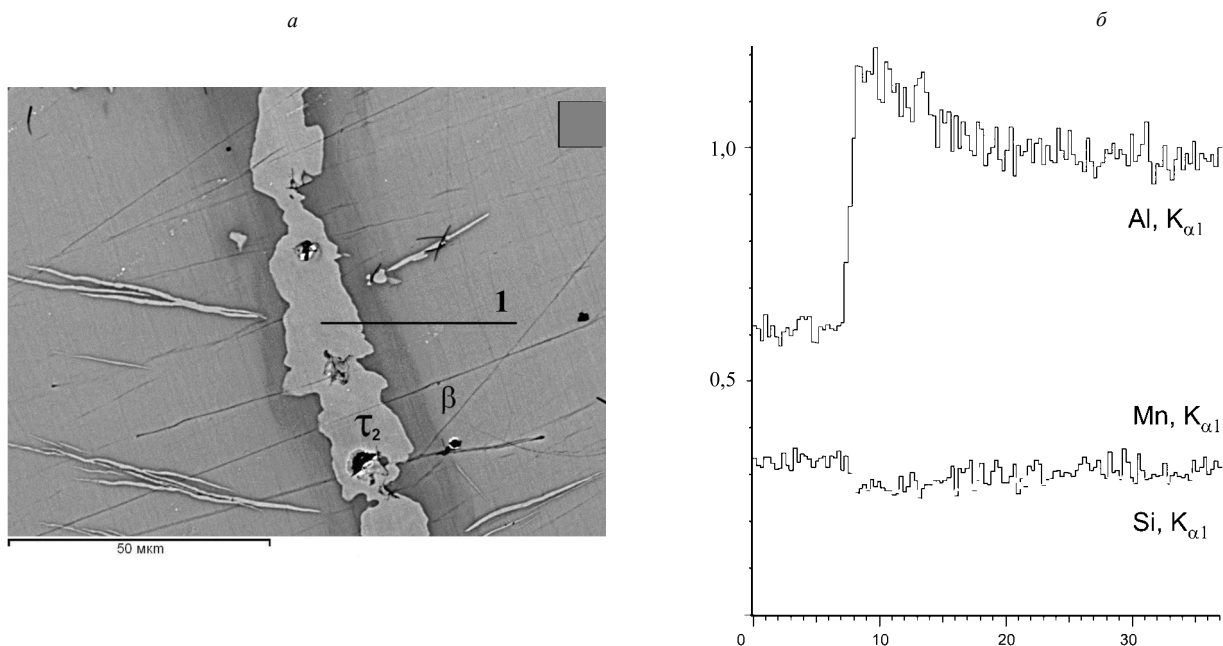


Рис. 4. Микроструктура двухфазного образца № 18 из области  $\tau_2 + \beta$  после 1000 ч отжига при 823 К (а) и качественное распределение элементов по линии 1(б)

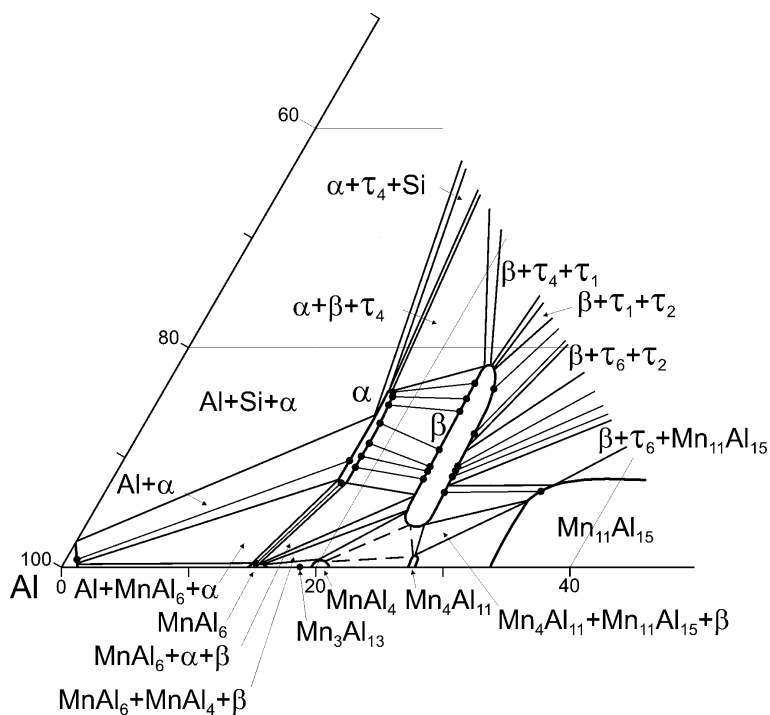


Рис. 5. Фрагмент диаграммы состояния при 823 К в области, богатой алюминием

По-видимому, вышеописанный эффект обуславливает то, что в некоторых работах [4] фаза  $\beta$  была обнаружена в сплавах системы Al–Mn–Si при более высоких концентрациях марганца, чем это установлено в настоящей работе.

Фаза  $\beta$  кристаллизуется в гексагональной сингонии, параметры кристаллической решетки тройного соединения  $\beta\text{-Al}_9\text{Mn}_3\text{Si}$ , определенные в настоящей работе, практически не зависят от состава:  $a = 7,4376(7)$  Å,  $c = 7,7149(7)$  Å. Данный факт указывает на то, что в кристаллической решетке  $\beta$ -фазы идет преимуще-

ственно замещение атомов алюминия на атомы кремния. Соединение  $\beta\text{-Al}_9\text{Mn}_3\text{Si}$  находится в равновесии с тройными фазами  $\tau_1$ ,  $\tau_2$ ,  $\tau_4$ ,  $\tau_6$  [4] и  $\alpha$ , а также с двойными фазами системы Al–Mn:  $\text{MnAl}_6$ ,  $\text{MnAl}_4$ ,  $\text{Mn}_4\text{Al}_{11}$  и  $\text{Mn}_{11}\text{Al}_{15}$ .

Таким образом, в результате проведенных исследований было определено положение области гомогенности фаз  $\alpha$  и  $\beta$  системы Al–Mn–Si, уточнен характер фазовых равновесий в районе их существования и построена диаграмма состояния при 823K в области сплавов, богатых алюминием (рис. 5).

Данное исследование было выполнено при поддержке РФФИ (проект № 07-03-00694-а).

#### СПИСОК ЛИТЕРАТУРЫ

1. Elser V., Henley C. L. // Phys. Rev. Lett. 1985. **55**. P.2883.
2. Дриц М.Е., Бочвар Н.Р. и др. // Диаграммы состояния систем на основе алюминия и магния / Под ред. Н.Х. Абрикосова. М., 1977.
3. Cooper M.A., Robinson K. // Acta Cryst. 1966. **20**. P. 614.
4. Krendelsberger N., Weitzer F., Schuster J. // Metallurgical and materials transactions. 2002. **33a**. P. 3311.
5. Raghavan V. // JPED. 2007. **28**. N 2. P. 192.
6. Гасик М.И., Поляков О.И. // Изв. АН СССР. Металлургия. 1982. №4. С. 196.
7. Kusma J. B., Nowotny H. // Monatsh. Chem. 1964. **95**. N 4-5. P. 1266.
8. Robinson K. // Acta Cryst. 1952. **5**. P. 397.
9. Aravamudhan R., Schubert C. Z. // Metallkunde. 1965. **56**. N 1, P. 44.
10. Gorichok B.O., Vengrenovich R.D. // Soviet Non-Ferrous Metals Research, translated from Izvestiya Vuz. Tsvetnaya Metallurgiya. 1977. **5**. P. 149.
11. McAlister A.J., Murray J.L. Binary Alloy Phase Diagrams, Second Edition / Ed. T.B. Massalski. V. 1. Ohio, 1990.

Поступила в редакцию 20.01.10

## PHASES $\alpha$ AND $\beta$ OF THE Al–Mn–Si SYSTEM

N.V. Kazennov, K.B. Kalmykov, S. F. Dunaev, N. L. Zvereva, N. E. Dmitrieva

(Division of General Chemistry)

**The fields of homogeneity and the crystal structures of threefold  $\alpha$  and  $\beta$  phases on the basis of  $\text{Al}_9\text{Mn}_2\text{Si}$  and  $\text{Al}_9\text{Mn}_3\text{Si}$  at 823 K were investigated by methods of scanning electronic microscopy, X-ray and electron probe microanalysis. It was established that the  $\alpha$  phase is formed in the field 7,4–15,9 at. % Si at manganese concentration ~18 at. %. The  $\beta$  phase has area of homogeneity from 3,7 to 18,5 at. % Si and settles down in parallel Al–Si side at concentration of manganese 24–26 at. %. The fragment of isothermal section of the Al–Mn–Si system in the field of the alloys rich with aluminum was constructed.**

**Key words:** phase equilibrium, scanning electron microscopy, x-ray analysis, aluminum alloys, diffusion, quazycrystals.

**Сведения об авторах:** Казеннов Никита Владимирович – инженер кафедры общей химии химического факультета МГУ (kbnkalmykov@mail.ru); Калмыков Константин Борисович – вед. науч. сотр. кафедры общей химии химического факультета МГУ, канд. хим. наук; Дунаев Сергей Федорович – зав. кафедрой общей химии химического факультета МГУ, профессор, докт. хим. наук; Зверева Наталья Леонидовна – науч. сотр. кафедры общей химии химического факультета МГУ, канд. хим. наук; Дмитриева Наталья Евгеньевна – науч. сотр. кафедры общей химии химического факультета МГУ, канд. хим. наук.